

台州市 2025 届高三第一次教学质量评估

地理

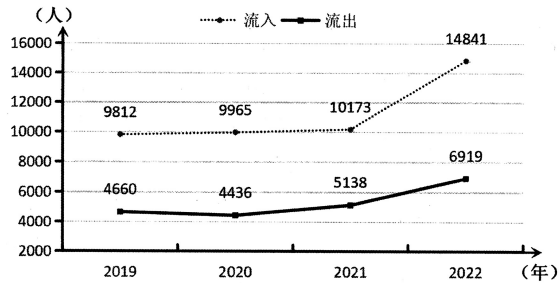
一、选择题(本大题共 25 小题,每小题 2 分,共 50 分。每小题列出的四个备选项中只有一个符合题目要求的,不选、多选、错选均不得分)

月球表面富含玄武岩碎屑。2024 年 6 月,嫦娥六号着陆器携带世界上首面玄武岩纤维织成的五星红旗成功着陆月背,为人类在月球直接利用资源做准备。据此,完成第 1~2 题。

1. 月球表面玄武岩多呈碎屑状态说明 ()
A. 风力侵蚀明显 B. 变质作用显著 C. 岩浆活动频繁 D. 物理风化强烈
2. 选择用玄武岩制作红旗登陆月球的主要目的是 ()
A. 生产技术便于传承 B. 开发月球就地取材
C. 材料环保减少污染 D. 抗辐射强性能较好

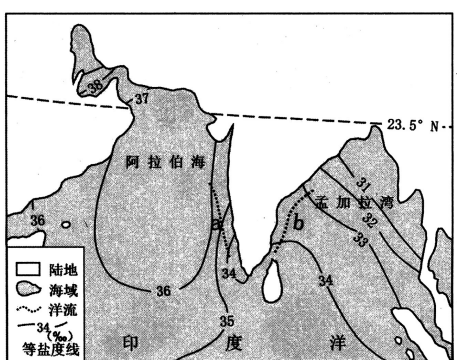
跨城通勤,指工作日当天跨越地级市行政边界往返居住地与工作地的行为。自 2018 年开始,流入上海跨省通勤的人近六成选在上海郊区办公。如图为 2019—2022 年长三角城市与上海市跨城通勤流入与流出示意图。据此,完成第 3~4 题。

3. 近年来,长三角城市与上海市跨城通勤主要交通方式是 ()
A. 航空 B. 公路
C. 高铁 D. 地铁
4. 造成图中跨城通勤流入与流出量差异的主要因素是 ()
A. 经济 B. 政策
C. 文化 D. 地价



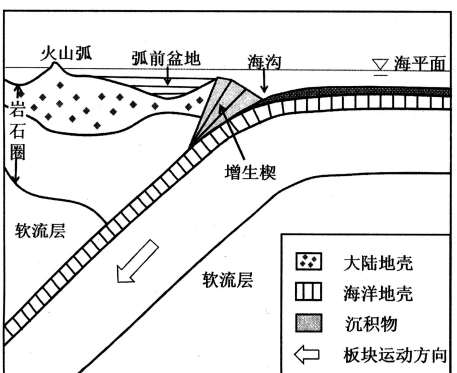
如图为世界某海域 8 月份表层海水盐度分布图。读图,完成第 5~6 题。

5. 与阿拉伯海相比,孟加拉湾盐度分布差异显著,影响的主要因素是 ()
A. 降水量 B. 径流量
C. 洋流 D. 海域闭合
6. 图中 a、b 两支洋流的流向和性质分别是 ()
A. 流向东南,暖流;流向东北,暖流
B. 流向西北,暖流;流向西南,寒流
C. 流向东南,寒流;流向东北,暖流
D. 流向西北,寒流;流向西南,寒流



板块的离散和汇聚是塑造海陆格局和实现大陆地壳生长的重要过程,下图为增生楔(大洋板块俯冲时上部物质被大陆板块刮下来堆积在海沟底部形成楔状体)与弧前盆地形成机制示意图。据此,完成第 7~8 题。

7. 图中板块边界的类型及其大洋板块海底宏观地形分别是 ()
A. 生长边界 岛弧
B. 消亡边界 海沟
C. 消亡边界 岛弧
D. 生长边界 海沟



8. 关于增生楔的表述正确的是 ()
- 不易产生断层等地质构造
 - 形成时间晚于弧前盆地
 - 形成过程不存在变质作用
 - 年龄越向海沟方向越小

在厌氧环境中，有机物被微生物分解时产生甲烷。如图为江苏某试验基地 2018—2019 年不同种植制度下的碳足迹(计量某种产品或活动生命周期内温室气体排放强度，数值越大排放强度越大)统计图。据此，完成第 9~10 题。

9. 从粮食安全角度，下列种植制度在我国最为低碳的是 ()

- 冬闲—水稻
- 紫云英—水稻
- 冬油菜—水稻
- 冬小麦—水稻

10. 能有效减少稻田里甲烷排放的可行措施有 ()
- 晒干焚烧秸秆
 - 休季排干稻田
 - 提高复种指数
 - 加强稻田监测

以下材料为杭州市某中学地理研究小组开展校园植被调查后的部分结论。据此，完成第 11~12 题。

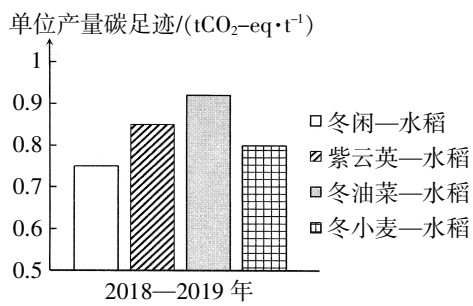
- ①各主要高中校园有樟树、柳树、桂树、银杏等，统计发现樟树数量最多。
②其中一所学校校园西侧道路两侧樟树是十年前同批次、同品种、同时种下，但目前外观存在明显差异。

11. 杭州中小学校园里樟树数量多的主要原因是 ()
- 常绿乔木遮荫好
 - 具有高观赏价值
 - 净化空气效果佳
 - 属于地带性植被
12. 目前，该所学校校园西侧道路两侧樟树外观存在明显差异的因素最可能是 ()
- 土壤
 - 热量
 - 降水
 - 时间

江西省寻乌县曾是我国稀土矿富集地，目前已成为国土空间生态修复与发展共赢的典范。土地利用转移矩阵可以反映在一段时间内各种土地类型之间转化的动态信息。下表为寻乌县 2010 年和 2018 年土地利用转移矩阵信息。据此，完成第 13~14 题。

| 2010 年土地利用类型 | 2018 年土地利用类型 | | | | | 转出面积总计/km ² |
|------------------------|--------------|--------|-------|----------|------|------------------------|
| | 草地 | 耕地 | 建设用地 | 林地 | 水域 | |
| 草地 | 74.52 | 33.03 | 2.02 | 132.18 | 0.67 | 167.89 |
| 耕地 | 34.50 | 145.59 | 8.22 | 241.64 | 0.49 | 284.85 |
| 建设用地 | 0.08 | 0.66 | 9.00 | 7.34 | 0.11 | 8.19 |
| 林地 | 2.28 | 0.05 | 7.25 | 1 923.31 | 0.27 | 9.85 |
| 水域 | 1.01 | 0.37 | 0.95 | 0.27 | 3.85 | 2.60 |
| 转出面积总计/km ² | 37.87 | 34.11 | 18.45 | 381.43 | 1.55 | 473.41 |

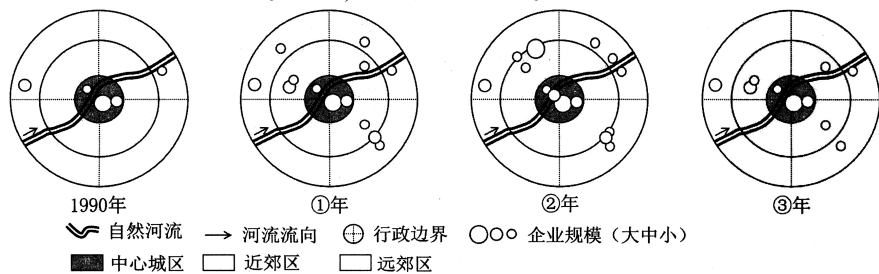
13. 寻乌县国土空间发展的表现有 ()
- 耕地主要转向草地
 - 建设用地增幅最大
 - 水域面积变化量小
 - 林地面积变为最大
14. 3S 技术运用于废弃矿山生态修复，正确的是 ()
- BDS 快速获取大致的矿区范围
 - RS 精确测量废弃矿区的地形
 - GIS 评估生态修复的难易程度
 - GIS 优化机械装备的作业精度



当前,我国有90%的老人选择居家养老。研究表明,超过15分钟步行距离后老年人前往服务点的意愿断崖式下跌。据此,完成第15~16题。

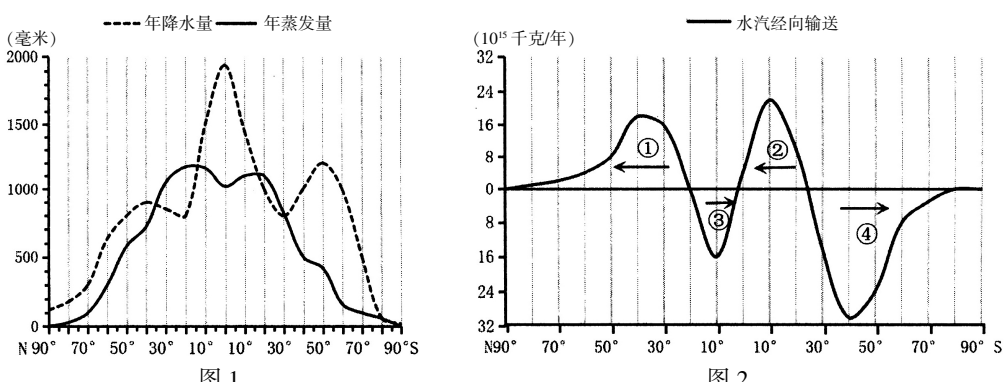
15. 从服务业类型角度,与居家养老服务相同的是 ()
 A. 休闲旅游 B. 工业设计 C. 科技服务 D. 金融服务
16. 最适宜布局在15分钟步行距离圈内的一组养老服务项目是 ()
 ①助餐送餐 ②搬家服务 ③法律咨询 ④康养服务
 A. ①② B. ②③ C. ③④ D. ①④

兰州市污染企业呈现出“中心—近郊—远郊—开发区/新区”的郊区化过程,下图为1990~2020年兰州市污染企业区位演变的空间重构模式。据此,完成第17~18题。



17. 兰州市污染企业区位演变次序为 ()
 A. ①②③ B. ①③② C. ③①② D. ②③①
18. 关于兰州市污染企业空间治理应对策略,正确的是 ()
 A. 加快绿色转型步伐 B. 引导迁移趋向分散
 C. 促使沿河集中布局 D. 优化内部空间结构

蒸发、降水、大气中的水分输送等因素影响地球上水量平衡。大气环流会把水汽从盈余的区域输送到水汽亏损的区域。图1为海洋区域随着纬度分布的年平均蒸发量与年平均降水量图,图2为水汽的经向输送变化图。据此,完成第19~20题。



19. 不考虑大气环流,则上空水汽有盈余的海域位于 ()
 A. 赤道附近 B. 副热带区域 C. 中高纬度区域 D. 极地地区
20. 图2中①~④箭头示意盛行风向,其中为西南风的是 ()
 A. ① B. ② C. ③ D. ④

台州籍学生小吴正在西安($34^{\circ}\text{N}, 109^{\circ}\text{E}$)就读大学,她发现大学宿舍和自家的阳台均安装自动上下伸缩式晾衣架,保证晴天时的阳光恰好能照射到晾衣杆上,且两地阳台的格局、方位以及晾衣架安装位置基本一致。据此,完成第21~22题。

21. 当地地方时正午时,两地阳台晾衣架绳索长度伸缩变化的幅度 ()
 A. 全年西安等于台州 B. 冬半年西安大于台州
 C. 全年西安小于台州 D. 夏半年西安大于台州

22. 当小吴宿舍所晾晒衣物在一天中的影子变最短时,正在台州某地小吴妈妈看到的太阳位于天空的()

A. 东北 B. 东南
C. 西北 D. 西南

23. 如图为横断山区碧罗雪山自然带分布示意图。碧罗雪山东坡缺失常绿阔叶林分布,主要影响因素有()

①土壤 ②坡向 ③光照 ④大气环流
A. ①② B. ②④
C. ①③ D. ③④

2018年1月11—28日,我国关中盆地经历了一次持续时间长、范围广的重度污染天气事件。这期间受山谷风等影响,PM_{2.5}峰值在每天午后和前半夜出现。如图为该污染事件的形成机理示意图。据此,完成第24~25题。

24. 此次天气事件持续时间长的条件有()

①偏南气流越过山地下沉
②700~850 hPa区域气流下沉明显
③近地面偏东风辐合上升
④强劲的冬季风带来大量污染物
A. ①② B. ①③
C. ②③ D. ③④

25. 一天中,PM_{2.5}某个峰值形成的主要原因是()

A. 午后吹山风,近地面的污染物多辐合上升
B. 午后吹谷风,越山气流下沉增温加剧逆温
C. 前半夜吹山风,高处污染物被带回近地面
D. 前半夜吹谷风,逆温层变厚阻滞气流下沉

二、非选择题(本大题共3小题,共50分)

26. (15分)阅读材料,完成下列问题。

材料一 辽河口地区的大凌河、双台子河是泄洪排沙的主通道。受径流、潮流等影响,河口形成潮流滩、水下浅滩(枯水期不出露)、海底冲刷槽等地貌。图1为辽河口地区示意图。

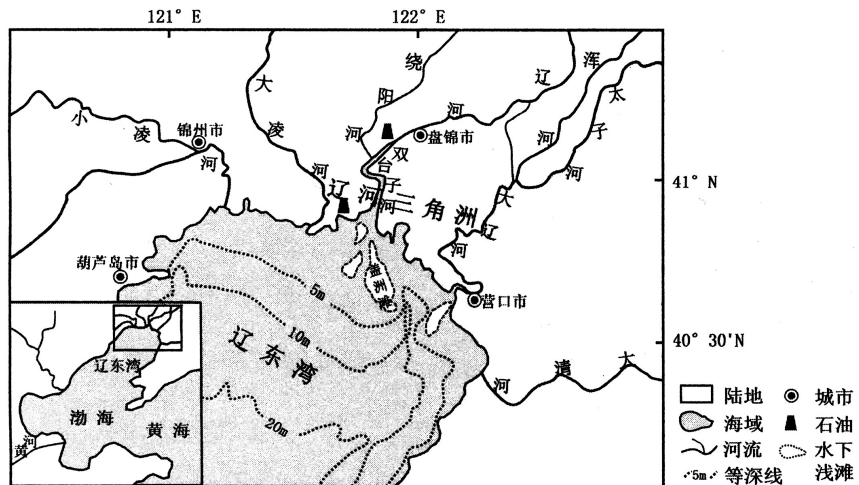
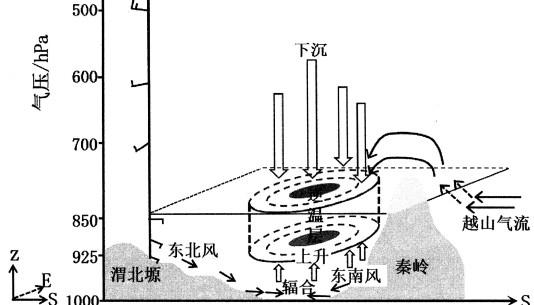
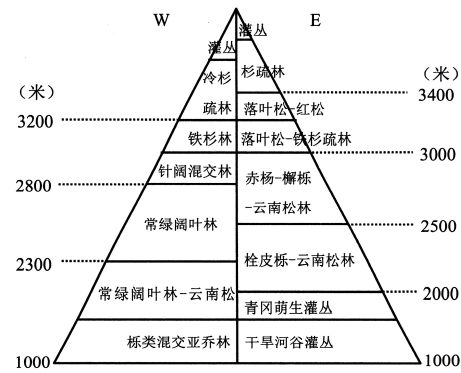


图1



()

材料二 滨海盐沼是重要的海岸带蓝碳(海洋生物及海洋活动的碳汇过程)生态系统之一。人类活动曾导致辽河三角洲景观破碎化,近年来,辽河三角洲被纳入首批湿地生态效益补偿试点。图2为辽河三角洲人类活动与碳排放关系图。

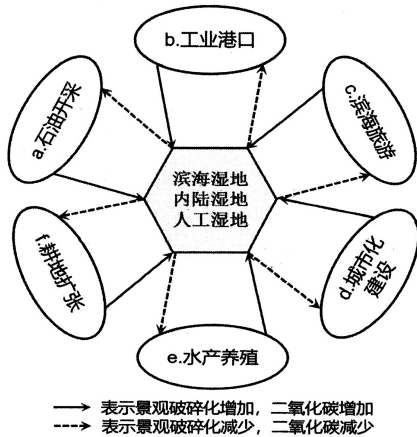


图2

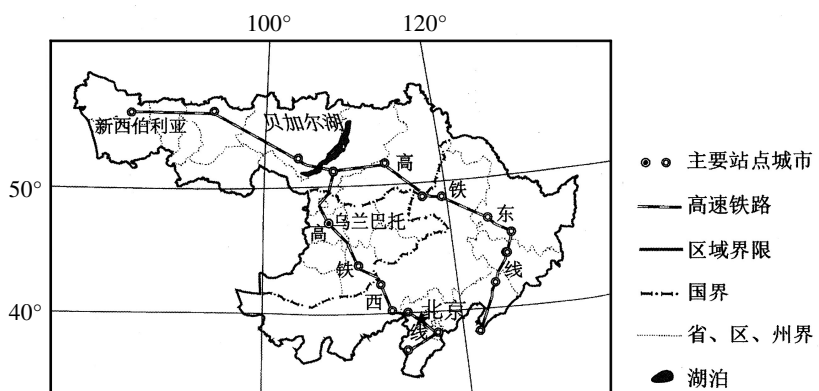
(1) 图中盖洲滩为_____ (填海岸地貌类型) 地貌。分析盖洲滩的形成原因。(5分)

(2) 从土地利用角度,简述曾造成辽河口海岸带蓝碳功能退化的产业活动。(6分)

(3) 说出辽河口海岸带的生态修复措施。(4分)

27. (15分) 阅读材料,完成下列问题。

交通可达性是指通过某种特定的交通系统从某一给定区位到达活动地点的便利程度。下图为中蒙俄高铁线路规划区域图,该区域横跨华北平原、东北平原、蒙古高原、东西伯利亚高原等多个自然地理单元。



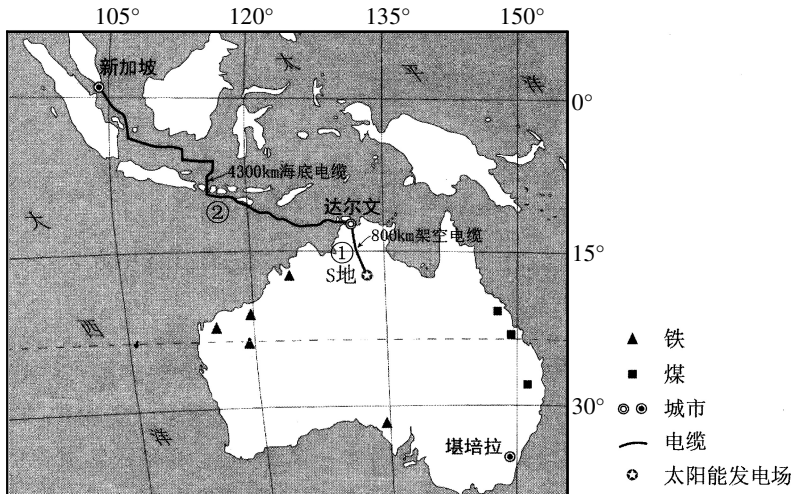
(1) 推动开发中蒙俄高铁建设的主要因素是_____。简析在蒙俄境内修建高铁西线将面临的不利自然条件。(5分)

(2)指出蒙古国参与修建高铁西线的主要出发点。(5分)

(3)说明中蒙俄高铁修建后,图示区域交通可达性的变化及其对区域空间结构演变的积极作用。(5分)

28. (20分)阅读材料,完成下列问题。

材料一 澳大利亚大陆主体形成于前寒武纪,新生代古近纪以来其内部所经历的构造活动相对较少。目前,澳大利亚大量出口铁矿石和煤炭,却不热衷于发展钢铁工业。2024年,澳大利亚电力供应紧张,电价上涨,但为该国提供约一半电力的老旧燃煤发电厂将于2035年前关闭。下图为世界某区域略图。



材料二 2024年8月21日,澳大利亚批准了在S地建设大型太阳能发电场的相关项目,拟通过特高压直流输电系统全天候传输到达尔文和新加坡(将满足这个国家约15%的电力需求)。

(1)从地质演化或资源分布角度,分别简述澳大利亚煤铁资源丰富、不热衷发展钢铁工业的原因。(4分)

(2)说明澳大利亚逐步关闭煤电厂的地理背景。(5分)

(3)从地理位置角度,分析在S地建设大型太阳能发电场的主要原因。(6分)

(4)海底电缆的铺设主要利用的海洋资源类型是_____,从灾害和成本角度比较该输电系统中①段、②段线路建设的地理条件。(5分)